

بررسی میدانی و آزمایشگاهی قابلیت حسگرهای فراصوتی USS3 برای سنجش غیرتماسی ساختار هندسی توده درخت پسته

حسین مقصودی^۱* - سعید مینایی^۲ - برات قبادیان^۳ - حسن مسعودی^۴

تاریخ دریافت: ۹۲/۳/۲۲

تاریخ پذیرش: ۹۳/۲/۲۷

چکیده

ساختار شناسی الکترونیکی به منظور تعیین ویژگی‌های فیزیکی توده گیاهان یکی از مباحث مهم در مدیریت محصولات درختی می‌باشد. حسگرهای فراصوتی و نوری تاکنون بیشترین کاربرد را در این زمینه داشته‌اند. هدف این پژوهش ارزیابی عملکرد حسگر فراصوتی USS3 در شرایط آزمایشگاه و مزرعه به منظور سنجش قابل اعتماد اندازه‌گیری‌های فاصله برای تخمین حجم تاج درخت پسته بود. برای رسیدن به این هدف، روش بررسی برای تحلیل عملکرد حسگر در رابطه با تشخیص فاصله شاخ و برگ و اثر تداخل میان حسگرهای مجاور که به طور همزمان کار می‌کنند، طراحی شد. تتابع نشان داد که خطای میانگین برای اندازه‌گیری فاصله با اشیاء توسط حسگر فراصوتی در شرایط آزمایشگاه ۰/۶۴ سانتی‌متر است. افزایش تغییرات در شرایط میدانی، بهویژه تحرک و غیرصلب بودن شاخ و برگ درختان، دقت این نمونه از حسگرها را هنگام برآورد فاصله تا توده گیاه کاهش می‌دهد. خطای میانگین در چنین شرایطی ۱۹/۳ سانتی‌متر به دست آمد. هنگام بررسی اثر تداخل حسگرهای مجاور در فاصله ۳۰ سانتی‌متری، خطای میانگین ۶۵/۱۴ سانتی‌متر و زمانی که فاصله حسگرهای مجاور به ۶۰ سانتی‌متر افزایش یافته خطای میانگین ۷۳/۶ سانتی‌متر محاسبه گردید. آزمایش‌ها نشان داد که این حسگرها زمانی که در فاصله حسگری قرار گیرند، برای تخمین فاصله تا درخت در شرایط باغ پسته مناسب بوده و می‌توان با اطمینان از این حسگرها در یک سامانه برای تخمین پارامترهای ساختاری توده گیاه در مبحث باغبانی دقیق استفاده کرد.

واژه‌های کلیدی: اندازه‌گیری فاصله، تداخل امواج فراصوتی، توده درخت، حسگر فراصوتی

مقدمه

پژوهشگران شروع به طراحی سامانه‌های الکترونیکی برای تعیین پارامترهای هندسی توده‌های گیاهان کردند. اولین طرح‌های پیشنهادی برای تخمین حجم درخت از حسگرهای فراصوتی متعدد روی یک دکل عمودی (Mcconnell *et al.*, 1983) یا به صورت سوار شده روی سپیاچ متعلق به تراکتور (Giles *et al.*, 1988) سود می‌برند. برخی اختراقات ثبت شده (Roper, 1989b; Giles *et al.*, 1989b; Balsari and Tamagnone, 1988) و همچنین کارهای پژوهشی (Brown *et al.*, 1987; Giles *et al.*, 1987; Giles *et al.*, 1989a) به کارگیری حسگرهای فراصوتی را تنها برای شناسایی وجود درخت گزارش دادند. نمونه دیگر کاربرد حسگرهای فراصوتی، سپیاچی درختان مرکبات از فاصله ثابت بود (Moltó *et al.*, 2000). افشارنکها روی یک بازوی متحرک که مرز درخت را با توجه به اطلاعات جمع‌آوری شده از حسگرها تعییب می‌کرد، قرار می‌گرفتند. در این پژوهش دقت حسگرها در دو حالت مختلف قرارگیری در فواصل عمودی ۵۰ و ۷۵ سانتی‌متر بررسی شد. خطای میانگین در اندازه‌گیری فاصله در باغ مرکبات ۱۱/۴ سانتی‌متر گزارش شد.^۱ به هر حال، اطلاعات در مورد اهمیت تأثیر توده گیاه بر مخروط صدا^۲

اماوج صوتی، امواج مکانیکی طولی هستند که از ارتعاش مولکول‌های هوا حاصل می‌شوند. فیزیک امواج مکانیکی طولی در گستره وسیعی از بسامدتها به وجود می‌آیند که این امواج صوتی در محدوده ۲۰ تا حدود ۲۰۰۰۰ هرتز، گستره‌ی شناوی انسان نامیده می‌شوند. فیزیک امواج مکانیکی طولی را که بسامدشان بالای این گستره باشد، امواج فراصوتی گویند (Maghsoudi and Minaei, 2013). بیش از ۴۰ سال است که حسگرهای فراصوتی با هدف‌های مختلفی در بخش کشاورزی به کار برده شده‌اند (Planas *et al.*, 2011). یکی از این کاربردها تشخیص و فاصله سنجی برای استخراج اطلاعات هندسی از درختان میوه است. نخستین پیشرفت‌ها در این زمینه به کاربرد آفت‌کش‌ها و قارچ‌کش‌ها در باغ‌های میوه مربوط می‌شوند. از زمانی که تنظیم مقدار مصرف این مواد بر مبنای تراکم توده گیاه مطرح شد (Byers *et al.*, 1971; Morgan, 1964) برخی

۱- به ترتیب دانش‌آموخته دکتری و دانشیاران گروه مهندسی مکانیک پیوسیستم، دانشکده کشاورزی، دانشگاه تربیت مدرس تهران
۲- استادیار گروه مهندسی مکانیک پیوسیستم، دانشگاه شهری چمران اهواز
۳- نویسنده مسئول: (Email: minaee@modares.ac.ir)

جلو و همچنین تأثیرگذاری دمای هوا در مدت زمان پرواز^۳ امواج صوتی گزارش شد. خطای دیگر مربوط به انحراف در مسیر پیشروی بود. با این حال، اطلاعاتی درباره تأثیر ساختار درخت بر خروجی حسگر یا دیگر پارامترهای بالقوه مؤثر بر بازتاب امواج فرacoتوی، ارائه نشده است. اخیراً به منظور تعیین دقیق حسگرهای فرacoتوی هنگام اندازه‌گیری فاصله تا توده‌های محصولات با غی مطالعاتی انجام شده است (Jeon *et al.*, 2011). اگرچه نتایج این آزمایش‌ها رضایت‌بخش بود، ولی تعمیم این نتایج به درختان مختلف با ساختارهای متفاوت مشکل می‌باشد.

اکثر کاربردهای معرفی شده از حسگرهای فرacoتوی در شناسایی ویژگی‌های توده گیاهی بر همبستگی برآوردهای دستی از عرض یا حجم توده گیاهی، با نتایج بدست آمده توسط حسگرها تمرکز دارند. این پژوهش‌ها هیچ‌گونه اطلاعاتی درباره برهمکنش میان امواج فرacoتوی و توده گیاه و همچنین چگونگی تداخل با تخمین‌های حسگرهای فرacoتوی ارائه نکرده‌اند (Maghsoudi and Minaei, 2014). در کاربردهای فاصله سنجی، حسگرهای فرacoتوی برای تخمین فاصله تا هدف (با سطح صلب) با به کارگیری بازتاب آینه‌ای امواج فرacoتوی طراحی می‌شوند. سطح درخت پسته از برگ‌های با سطح کوچک که در زوایای مختلف قرار گرفته‌اند تشکیل شده است. در نتیجه بازتاب امواج فرacoتوی در مقایسه با سطح اشیای صلب پراکندگی بیشتری داشته و این پراکندگی به شدت بر فاصله برآورد شده توسط حسگرها تأثیرگذارد. در این مقاله یک حسگر فرacoتوی به منظور بررسی مناسب بودن عملکرد و قابلیت اطمینان توانایی برآورد فاصله تا درخت در باغ پسته، ابعاد درخت از جمله ضخامت توده مورد تحلیل قرار گرفت. آزمون‌ها در آزمایشگاه و باع به صورت ثابت برای ارزیابی توانایی برآورد فاصله تا درخت پسته و تأثیر تداخل حسگرهای مجاور اجرا شد. این مطالعه گام نخست از یک پژوهش جامع است که در آن از این حسگرها برای تخمین حجم توده درختان میوه به منظور کاربرد در تجهیزات تیمار متغیر در قالب باطنی دقیق استفاده خواهد شد.

مواد و روش‌ها

حسگر و سامانه داده برداری

حسگرها روی یک دکل عمودی متصل شدند که توسط تراکتور در باع جابه‌جا می‌شد. از باتری ۱۲ ولت به منظور تأمین ولتاژ مورد نیاز برای راهاندازی حسگرها استفاده شد. در این پروژه حسگرهای فرacoتوی مدل USS3 ساخت شرکت Best Technology کشور ژاپن به کار گرفته شدند (جدول ۱). این حسگرها از دو عدد سونار^۴

یا تأثیر تداخل امواج روی مقادیر خطای مهیا نشد. همین پژوهش‌گران سمپاش دیگری را طراحی کردند که قادر به پاشیدن ۳ دبی متفاوت بر پایه برآورد عرض درخت توسط حسگرهای فرacoتوی بود (Moltó *et al.*, 2001). این سه حالت عبارت بودند از: بدون پاشش، در صورت عدم وجود پوشش گیاهی، پاشش نیمی از دبی، هنگام تشخیص پوشش گیاهی کم و پاشش دبی کامل، هنگامی که عرض درخت از آستانه پیش فرض بیشتر باشد. این طراحی به روشهای تغییرات پیوسته دبی با توجه به تغییرات پوشش گیاهی در طول Escolà *et al.*, 2007; Escolà *et al.*, 2002; Gil *et al.*, 2007; Llorens *et al.*, 2010; Solanelles *et al.*, 2002; Solanelles *et al.*, 2006 پژوهش‌های زیادی برای تخمین ابعاد درخت در باع مرکبات انجام شده است. کارهای نخستین روی مقایسه برآورد حجم درخت به صورت دستی، بر پایه اندازه‌گیری‌های انجام شده با حسگرهای فرacoتوی و لیدار^۱ تمرکز داشتند (Tumbo *et al.*, 2002). برآورد حسگرهای فرacoتوی و لیدار همبستگی نسبتاً خوبی داشتند، در حالی که همبستگی با تخمین‌های دستی پایین‌تر بود. اختلاف با اندازه‌گیری‌های دستی را به ریزبینی نمونه برداری بالاتر توسط حسگرها منسوب کردند. سامانه فرacoتوی شامل یک دکل عمودی با ده حسگر فرacoتوی در هر سمت بود. برای پرهیز از تداخل امواج، حسگرها به صورت متناوب به ترتیب در گروههای مختلف فعال شدند. این سامانه برای تهیه نقشه حجم توده درخت در باع‌های مرکبات با متصل کردن گیرنده DGPS نیز به کار گرفته شد (Zaman and Schumann, 2005; Zamahn 2004, and Salyani, 2004). در درختان با تراکم کمتر، اختلافات بیشتر میان برآوردهای دستی و حسگری وجود داشت و اطلاعات حجم توده گیاهی برای تنظیم دبی کود (Schumann *et al.*, 2006; Zaman 2005) و برآورد میزان محصول در باع‌های مرکبات به کار برده شد (Zaman *et al.*, 2006). در رابطه با ریزبینی^۲ نمونه برداری عمودی، حسگرهای لیدار در یک تخمین دقیق‌تر، اطلاعات بسیار بیشتری در مقایسه با آرایه‌ای از نتایج حسگرهای فرacoتوی از پارامترهای توده گیاه فراهم می‌کنند (Arnó *et al.*, 2009; Palleja *et al.*, 2010; Rosell *et al.*, 2009a; Rosell *et al.*, 2009b). کاربرد دیگر داده‌های حجم توده برآورد شده با حسگرهای فرacoتوی، برای تعیین نواحی مدیریتی در باع‌های مرکبات می‌باشد (Mann *et al.*, 2011; Zaman and Schumann, 2006). همچنین منابع خطای برآورد حجم درختان مرکبات با سامانه توصیف شده در مقایسه با اندازه‌گیری‌های دستی مطالعه شد (Zaman *et al.*, 2007). مهم‌ترین منابع خطای دقت ناکافی گیرنده GPS در برآورد سرعت حرکت رو به

3- Time of flight

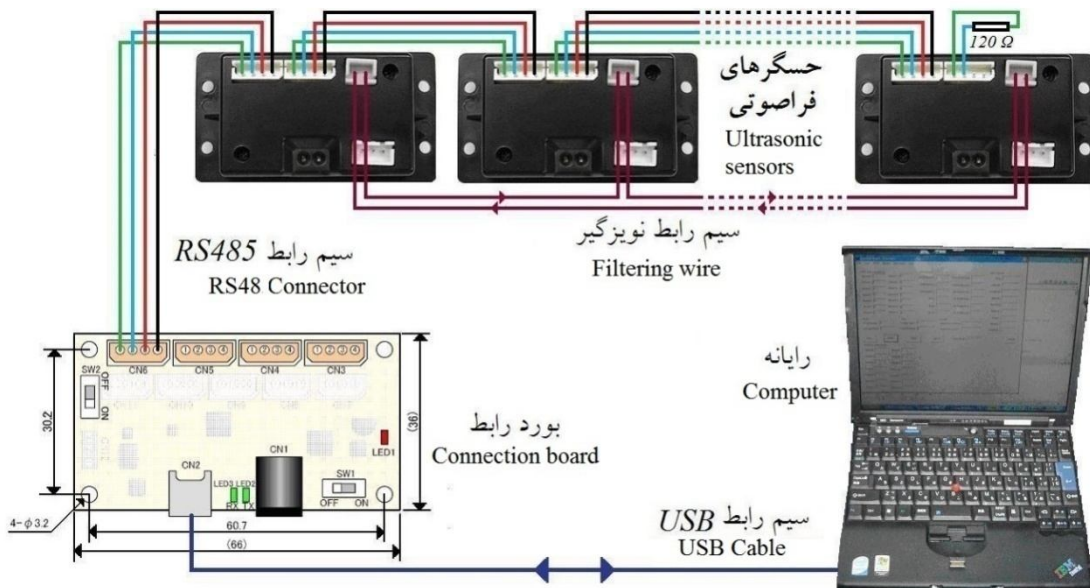
4- Sonar

1- Lidar

2- Resolution

فراصوتی نصب شده‌اند. یکی از این سونارها برای فرستادن امواج فراصوتی و دیگری برای دریافت آن‌ها به کار می‌رود (شکل ۱).

(وسیله‌ای که می‌تواند پالس‌های الکترونیکی را به امواج فراصوتی و امواج فراصوتی را به پالس‌های الکترونیکی تبدیل کند) تشکیل شده که روی یک بورد الکترونیکی شامل مدارهای فرستنده و گیرنده امواج



شکل ۱ - حسگر فراصوتی USS3 و نحوه اتصال آن‌ها به رایانه (Masoudi et al., 2012)

Fig.1. USS3 ultrasonic sensor and their connection to computer

جدول ۱ - ویژگی‌های حسگر فراصوتی USS3

Table 1- Features of USS3 ultrasonic sensor

ویژگی Feature	مقدار Value
وزن Weight	19 g
ابعاد Dimensions	W62×D34×H21mm
حداکثر فاصله اندازه‌گیری The maximum measurement distance	10 m
ردیزیونی Measurement resolution	1cm
فرکانس پاسخ Resonance frequency	40 kHz
چرخه اندازه‌گیری Measurement cycle	3~128 ms
نوع سیگنال فرمان Command Signal	Digital packet
ولتاژ برق ورودی Range of power-supply voltage	DC 6.5~36 V
مقدار توان مصرفی Current consumption	400 mW
نوع خروجی Output type	Digital and Analog

حرکت می‌کنند (تقریباً در فاصله‌ای کمتر از نصف این فاصله تا مرکز ردیف قرار می‌گیرند) محدوده اندازه‌گیری حسگرهای از ۲۰ تا ۲۰۰ سانتی‌متر در نظر گرفته شد و پارامترهای داخلی حسگر ثبیت شد. هر تغییری در محدوده اندازه‌گیری حسگر موجب تغییر در زاویه موج ساطع شده می‌شود، یعنی شناسایی محدوده کوتاه‌تر شامل زاویه مخروط باریک‌تر و عرض کمتر می‌شود. لذا به دلیل تغییر تنظیمات حسگر و همچنین وجود تفاوت میان محصولات مختلف، عملکرد حسگر فرacoتوی پیش از به کارگیری برای تعیین ویژگی‌های ساختاری درختان پسته مورد ارزیابی قرار گرفت. تنظیمات اعمال شده روی حسگرهای در جدول ۲ ارائه شده‌اند.

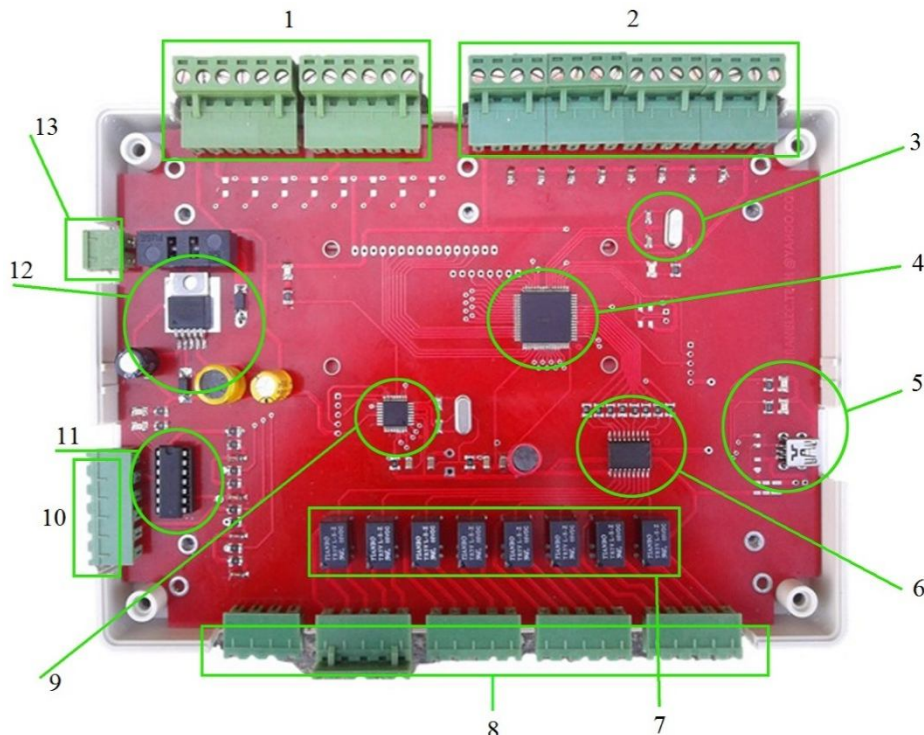
سامانه داده برداری برای ارتباط سخت افزار و رایانه
برای دریافت اطلاعات حسگرهای انتقال آن‌ها، از رابط کاربری یا سامانه داده برداری بهره‌گیری شد. سامانه داده برداری یک رابط کاربری بر مبنای میکروکنترل AVR است که از طریق درگاه USB با رایانه در ارتباط است و اطلاعات وارد شده به ورودی‌ها را به رایانه منتقل می‌کند. برنامه‌ریزی میکروکنترلر با زبان C و با کامپایلر Codevision انجام و همچنین برنامه کنترلی در نرم افزار پرقدرت Visual Studio 2008 نوشته شد.

این حسگر با تولید امواج فرacoتوی، انتشار و دریافت بازتاب آن‌ها پس از برخورد با یک سطح، فاصله را اندازه‌گیری می‌کند. این حسگر دارای دو نوع خروجی است، یکی خروجی رقومی که مقدار آن فاصله حسگر تا نزدیک‌ترین جسم بر حسب سانتی‌متر (با دقیقاً ۱ سانتی‌متر) و دیگری خروجی آنالوگ که ولتاژی مناسب با فاصله است و به صورت خطی از صفر تا ۱۰ ولت (برای صفر تا ۱۰ متر) تغییر می‌کند (Masoudi *et al.*, 2012). سیگنال آنالوگ تولیدی توسط این حسگرهای مناسب با فاصله تا هدف تشخیصی است، که با توجه به این فاصله، مناسب با فاصله می‌باشد. عرض درخت به وسیله ضرب سرعت پیشروی در مدت زمان حس کردن توده توسط حسگر حاصل می‌شود و ارتفاع با توجه به موقعیت نصب حسگرهای میسر می‌گردد.

مقادیر متغیرهای داخلی حسگر با توجه به شرایط کاری و فاصله مورد نیاز آن تعیین و در ابتدای کار تنظیم شد (جدول ۲). این مدل حسگر دارای دامنه کاری وسیعی از چهار تا ۱۰۰۰ سانتی‌متر می‌باشد که با توجه به شرایط کاری و فاصله مورد نیاز مقادیر پارامترهای داخلی آن برای تشخیص اجسام در فواصل ۲۰۰ تا ۲۰۰۰ سانتی‌متر تعیین و در ابتدای تنظیم شد (Masoudi *et al.*, 2011). با توجه به این که در باغ‌های میوه معمولاً فاصله بین ردیف درختان ۴ متر یا کمتر است و حسگرهای که توسط تراکتور بین ردیف‌ها

جدول ۲- مقادیر انتخاب شده برای پارامترهای داخلی حسگرهای فرacoتوی USS3
Table 2- Selected values for internal parameters of USS3 ultrasonic sensors

مشخصه Parameter	محدوده تعیین شده Range	مقادیر انتخاب شده Selected values
شماره شناسه ID	0~253	0~4
سرعت ارسال داده‌ها Baud rate	7843~2000000 bit s ⁻¹	57600 bit s ⁻¹
زمان تأخیر بازگشت پالس Return delay time	0~508 μs	160μs
تعداد پالس‌ها Number of pulses	2~250 PPS	5 PPS
سیکل کاری Cycle	3~128 ms	64 ms
باند مرده Dead band	0~128 ms	800 ms
سطح تشخیص Detect level	0~4095	768
سرعت امواج فرacoتوی Sound speed	0~999 m s ⁻¹	348 m s ⁻¹
دامنه کاری Distance range	4~1000 cm	10~200 cm



شکل ۲ - سامانه داده برداری برای ارتباط سخت افزار با رایانه شامل: (۱) ورودی دیجیتال، (۲) ورودی آنالوگ، (۳) کریستال ۴ مگاهرتز، (۴) تراشه ATmega128 برای اجرای برنامه اصلی و ارسال اطلاعات به رایانه، (۵) اتصال USB و مبدل سریال FT232، (۶) دایرور رله ULN2803، (۷) رله خروجی، (۸) فیش‌های خروجی دیجیتال، (۹) تراشه کمکی ۸ ATmega برای شمارش پالس‌های انکودر و ارسال به تراشه اصلی، (۱۰) فیش انکودر، (۱۱) تشخیص جهت چرخش انکودر ۱۲ ولت مستقیم LM2576 به ۵ ولت (۱۲) فیش منع تقدیم ۱۲ ولت، (۱۳) مبدل ولتاژ ۱۲ به ۱۲ ولت DC.

Fig.2. Data acquisition system to connect with computer consists of: (1) Digital input socket, (2) Anologe input socket, (3) Crystal 4 MHz, (4) Main microcontroller ATmega128 execute main program send values to PC, (5) USB connector and serial convertor FT232, (6) Relay driver ULN2803, (7) Output relay, (8) Digital output socket, (9) Auxillary microcontroller ATmega8 calculate encoder pulses send encoder values to main microcontroller, (10) Encoder socket, (11) Encoder direction detector 4013, (12) 12 to 5 volt convertor LM2576, (13) Power supply socket 12 volt DC

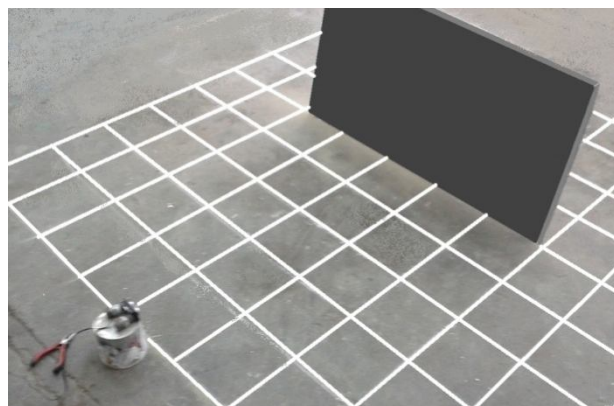
نکته قابل توجه درباره حسگرهای زاویه پرتوهای فرماحتی ساطع شده می‌باشد. شرکت سازنده حسگرهای مدعی است که اشیاء در زوایای بین ۱۵ تا ۴۵ درجه توسط حسگرهای قابل شناسایی هستند و شکل و اندازه مخروط صدا بسته به هدف مورد شناسایی متفاوت می‌باشد. بهمنظور بررسی ادعای مطرح شده، سطحی با طول و عرض ۲ متر به مربع‌های کوچک‌تر به ضلع ۲۰ سانتی‌متر تقسیم شد و اجسام با شکل‌های مختلف به ترتیب در هر یک از خانه‌های آن گذاشته شدند. اهداف مورد نظر شامل یک جسم با سطح مستطیلی 20×10 سانتی‌متر مربع و یک جسم استوانه‌ای شکل با قطر ۱۰ سانتی‌متر بودند. در هر نقطه "دیده شدن" جسم توسط حسگر بررسی شد و در پایان ناحیه دید واقعی حسگر با استفاده از نرم افزار Excel ترسیم گردید. برای به دست آوردن محدوده قابل شناسایی توسط حسگرهای جسم مستطیلی یک بار در بهترین وضعیت بازتاب و بار دیگر عمود بر محور مرکزی مخروط صدا قرار گرفت (شکل ۴)، برای فهم بهتر به شکل ۸ رجوع شود.

اندازه‌گیری فاصله در آزمایشگاه

این آزمایش‌ها با هدف دستیابی به قابلیت‌های حسگرهای فرماحتی در شرایط ایده‌آل توسط یک هدف صلب فلزی با سطح صاف به ابعاد 100×50 سانتی‌متر مربوط در دانشکده کشاورزی دانشگاه تربیت مدرس انجام شدند. این سطح صلب در فواصل مختلف از ۲۰ تا ۲۲۰ سانتی‌متر جابه‌جا شد و خروجی حسگرها در هر موقعیت ثبت گردید (شکل ۳). آزمایش‌ها در حالت کاملاً ایستا و شرایط بدون باد اجرا شد. تحلیل‌های آماری شامل برآنش مدل رگرسیون خطی (رابطه ۱) بهمنظور ایجاد یک رابطه کاربردی میان فاصله تا حسگر و خروجی آنالوگ حسگر می‌باشد. کیفیت برآنش انجام شده توسط تحلیل فاصله اندازه‌گیری شده در مقابل خروجی حسگر و با ضریب تعیین ارزیابی گردید.

$$d = \beta_0 + \beta_1 V \quad (1)$$

در رابطه (۱)، d فاصله برآورد شده، β_0 و β_1 پارامترهای ثابت و خروجی حسگر به عنوان متغیر مستقل می‌باشد.



شکل ۳- طرح آزمایش برای اندازه‌گیری فاصله با حسگر فرماصوتی در آزمایشگاه

Fig.3. Test layout designed to measure the distance from the ultrasonic sensor in laboratory



شکل ۴- آزمون تعیین ناحیه دید واقعی حسگرهای فرماصوتی با اجسام گرد و تخت؛ (a) سطح انحنایدار، (b) سطح تخت

Fig.4. Examination of actual field of view of ultrasonic sensors with round and flat objects; (a) Round surface, (b) Flat surface

تا برگ‌ها استفاده شد. این عمل ۶۰ بار در نواحی مختلف برای بررسی‌های آماری انجام شد.

بررسی اثر تداخل امواج

هدف این آزمایش بررسی تأثیر بازتاب امواج حسگرهای مجاور روی حسگر مرکزی است که به طور همزمان کار می‌کنند. برای جلوگیری از بروجود آمدن تداخل میان امواج بازگشتی، تعیین فاصله عمودی بین حسگرها به صورت تجربی ضروری است. در این آزمایش دو جفت حسگر در فاصله‌های $\pm 30^\circ$ و $\pm 60^\circ$ سانتی‌متر اطراف حسگر مرکزی قرار گرفته (شکل ۵ الف). این فواصل با توجه به قابلیت استفاده عملی در این پژوهش و براساس ویژگی‌های پوشش درخت انتخاب شدند. لازم به ذکر است که برای برآورد بهتر پارامترهایی چون سطح مقطع یا حجم پوشش درخت، فاصله نزدیک‌تر حسگرها نسبت به یکدیگر موجب تفکیک نمونه برداری عمودی بیشتری می‌شود.

اندازه‌گیری فاصله در شرایط واقعی

هدف این آزمایش مقایسه خروجی آنالوگ حسگرها هنگام اندازه‌گیری فاصله‌های مختلف تا درخت با خروجی حسگر هنگام اندازه‌گیری فاصله تا هدف ایده‌آل (کاملاً صلب با سطح صاف) می‌باشد. این آزمایش‌ها در باغ‌های پسته روستایی پیک شهرستان ساوه و در اوایل فصل تابستان انجام شد. برای این منظور ابتدا حسگر در مقابل درخت ثابت شد و خروجی حسگر مرکزی ثبت گردید (شکل ۵). پس از آن با کمک یک لیزر نقطه‌ای نخستین برگ شناسایی شده موادی با حسگر فرماصوتی (عمود بر امواج تابیده شده) قرار گرفت (شکل ۵ ب). مرحله بعد اندازه‌گیری دستی فاصله حسگر تا برگ مشخص شده بود (شکل ۵ س). سپس، کاغذ مقوایی هدف با ابعاد 20×5 سانتی‌متر در مقابل حسگر قرار گرفت تا به ولتاژ قبلی برسد (شکل ۵ د) و سرانجام توسط متر نواری فاصله تا مقوا اندازه‌گیری شد (شکل ۵ ه). فاصله تا مقوا برای ارزیابی فاصله‌های اندازه‌گیری شده



شکل ۵ - (a) دکل عمودی به همراه حسگرهای فرماصوتی برای اندازه‌گیری فاصله و بررسی اثر تداخل، (b)، (c)، (d) و (e) مراحل متوالی برای
بررسی فاصله

Fig.5. (a) Vertical mast with ultrasonic sensors to determine distance and interference, (b), (c), (d) and (e) Sequence of the procedure for distance assessment

ایستا ممکن است مفید باشد ولی به هیچ وجه برای سامانه متحرک رضایت بخش نیست. با این حال تعیین حداقل فاصله بین حسگرهای فعال بهمنظور به دست آوردن بالاترین تفکیک عمودی برای برآورد بهتر پارامترهای درخت بدون کمترین میزان تداخل ضروری است که این فاصله عمودی مناسب برای نصب حسگرهای در این حالت باید با آزمون و خطای مشخص شود.

نتایج و بحث

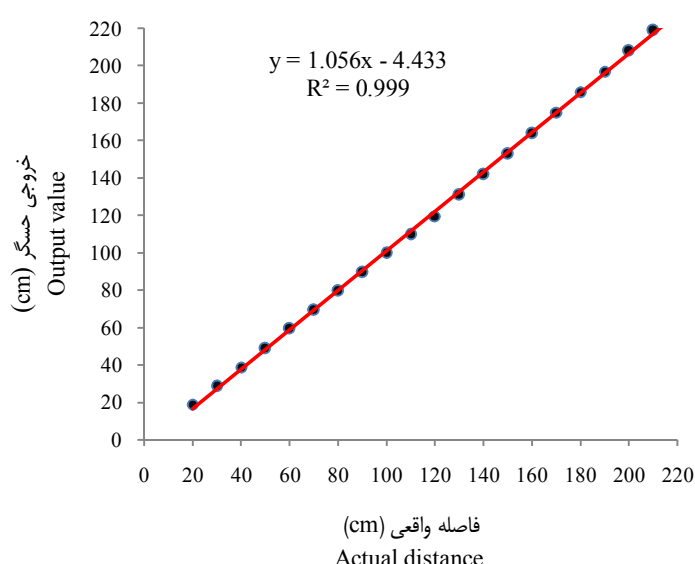
اندازه‌گیری فاصله در آزمایشگاه

شکل ۶ مقادیر خروجی حسگر فرماصوتی در برابر مقادیر واقعی فواصل در زاویه صفر درجه را نشان می‌دهند. ملاحظه می‌شود که در فواصل کم خطای زیاد است. بیشترین خطای در فاصله ۲۰ سانتی‌متری است که ۶ درصد می‌باشد. با افزایش فاصله حسگر از دیواره مقدار خطای نیز کاهش می‌یابد، به گونه‌ای که در فواصل ۶۰ تا ۱۳۰ سانتی‌متری میزان این خطای به کمتر از یک درصد می‌رسد، ولی با افزایش فاصله مجددًا مقدار خطای زیاد می‌شود. با توجه به افزایش شدید میزان خطای از فاصله ۲۲۰ سانتی‌متری به بعد بدیهی است که با مقادیر انتخاب شده برای پارامترهای داخلی حسگرهای فرماصوتی USS3 نمی‌توان این حسگرها را با دقت کافی در فواصل بیشتر از ۲۲۰ سانتی‌متری استفاده نمود. از آنجا که فاصله بین ردیف‌های درختان را بحدهای حدود ۴ متر است، لذا می‌توان این حسگرها را با تنظیمات انتخاب شده، در باغ‌ها به کار برد.

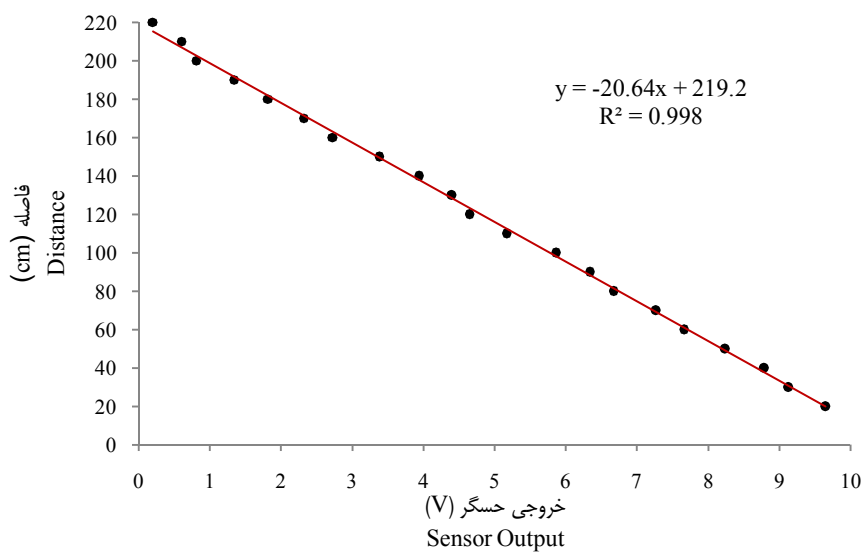
در تحقیقات دیگران فاصله بین حسگرها ۵۰ و ۷۵ سانتی‌متر در نظر گرفته شده است (Moltó *et al.*, 2000). در این پژوهش با توجه به محدوده قابل تشخیص حسگرهای اثر تداخل برای فاصله‌ای کمتر از ۵۰ سانتی‌متر (۳۰ سانتی‌متر) و همچنین فاصله‌ای بین ۵۰ و ۷۵ سانتی‌متر (۶۰ سانتی‌متر) برای تعیین حداقل فاصله قابل اعتماد حسگر تعیین گردید. در این آزمایش حسگر مرکزی به تنهایی و همچنین همزمان با حسگرهای مجاور به ترتیب در فواصل $\pm 30^\circ$ و $\pm 60^\circ$ فعال شده و مقادیر خطای آن‌ها با یکدیگر مقایسه شد. برای

بررسی‌های آماری، این فرآیند ۴۰ بار در نواحی مختلف تکرار شد.

حسگرهای فرماصوتی نسبت به تداخل امواجی که از حسگرهای مجاور سطح می‌شوند بسیار حساس می‌باشند. در حالتی که جسم به صورت مورب نسبت به حسگر فرماصوتی قرار گیرد، ممکن است موج منعکس شده از حسگر مجاور دریافت شود و موجب خطای شود. بهمنظور جلوگیری از تداخل امواج بازتابی حسگرهای دیگر برای خواندن داده‌های دقیق تر روشنی برای همگام سازی (سنکرون کردن) حسگرها توسط شرکت سازنده ارائه شده که دارای معایبی می‌باشد. در این روش همگام سازی که حسگرها به نوبت فعال می‌شوند، زمان پاسخ طولانی لازم است چون هر حسگر فقط در مدت زمان کوتاهی فعال است و تا زمانی که تمام حسگرهای دیگر موجود در مدار شلیک نکنند، باید برای فعال شدن مجدد منتظر بماند. این امر موجب می‌شود آرایه‌ای از حسگرها قادر به اکتساب هم‌زمان خواسته‌ها نباشند که در کاربردهای عملی مسبب برآورد غیردقیق پارامترهایی چون سطح مقطع یا حجم توده درخت می‌شود. این راه حل برای سامانه



شکل ۶- مقادیر خروجی حسگر فرماصوتی در برابر مقادیر واقعی فواصل
Fig.6. Output values of ultrasonic sensors versus actual distance values



شکل ۷- نمودار خروجی حسگر در برابر فاصله تا هدف

Fig.7. Sensor outputs versus distance to target

قابل بیان می‌باشد.

(۲)

$$d = 219.28 - 20.648 V$$

رابطه (۲) در شرایط کنترل شده آزمایشگاهی به دست آمده و در آن d فاصله برآورد شده (برحسب سانتی‌متر) و V سیگنال ولتاژ خروجی (برحسب ولت) است.

شکل‌های ۸ و ۹ ناحیه دید حسگرهای فرماصوتی USS3 برای اجسام با سطوح تخت و انحنای را نشان می‌دهد. همچنین برای مقایسه بهتر، محدوده معرفی شده توسط شرکت سازنده نیز روی نمودارها اضافه شده است (محدوده بین ۱۵ تا ۴۵ درجه). کاملاً واضح است که شکل جسم هدف و موقعیت قرارگیری آن در برابر امواج فرماصوتی، بر قدرت شناسایی حسگر تأثیرگذار است. نتایج به دست آمده از این آزمون نشان داد که فاصله دو حسگر فرماصوتی از یکدیگر روی دکل نمی‌تواند بیشتر از ۷۰ سانتی‌متر باشد. با توجه به این نتایج اگر حسگرهای فرماصوتی در فاصله حدود ۶۰ سانتی‌متر از یکدیگر بر روی دکل قرار گیرند، مجموع میدان دید آن‌ها تقریباً تمام ارتفاع درخت را پوشش خواهد داد.

اندازه‌گیری فاصله در شرایط واقعی

تعداد کل مشاهدات برای آزمایش‌های درون باع ۶۰ عدد بود و تعدادی از مشاهدات که در مقایسه با اندازه‌گیری‌های دستی غیر واقعی بودند، کنار گذاشته شدند. مدل برآشش شده بر داده‌های حاصل شده قادر به تشریح ۹۷٪ تغییرات فاصله تا برگ اول می‌باشد. همچنین خطای میانگین برای این آزمایش‌ها $3/19$ سانتی‌متر به دست آمد. شکل ۱۰ ولتاژ خروجی حسگر در مقابل مقادیر فاصله تا

خروجی حسگرهای فرماصوتی با نویفهایی^۱ همراه است. از آنجا که نوع نویفه‌های موجود در خروجی این حسگرها لحظه‌ای و غیریکنواخت (تصادفی) است، لذا برای حذف آن‌ها به کارگیری فیلتر میانه^۲ بهترین روش است (Masoudi *et al.*, 2012). این فیلتر قادر است نویفه‌های موجود در خروجی حسگرهای فرماصوتی را به خوبی حذف نماید. هر چند ممکن است که کاربرد فیلتر میانه موجب یک تأخیر زمانی چند ثانیه‌ای (بسته به تعداد داده‌های انتخاب شده برای میانه‌یابی) در خروجی نهایی حسگرها شود، ولی با توجه به سرعت پایین رو به جلوی تراکتور (کمتر از ۸ کیلومتر در ساعت) در حین انجام عملیات، این تأخیر زمانی (در حد میلی‌ثانیه) تأثیر منفی قابل ملاحظه‌ای بر عملکرد تعیین شده نخواهد داشت (Maghsoudi, (2013).

نتایج آزمون تعیین ناحیه دید واقعی حسگرهای فرماصوتی
نتایج آزمایش‌های اولیه در آزمایشگاه برای استخراج رابطه میان ولتاژ خروجی حسگر در مقابل جسم صلب در شکل ۷ نشان داده شده است. مقدار خطای میانگین $0/64$ سانتی‌متر به دست آمد. با توجه به شکل ۷ به وضوح پیداست که میان سیگنال خروجی حسگر و فاصله جسم هدف همبستگی زیادی وجود دارد و مدل برآشش شده قادر به تشریح ۹۷/۸٪ تغییرات پاسخ می‌باشد. در پژوهش‌های دیگر نیز به نتایج مشابهی اشاره شده است (Planas *et al.*, 2011). لذا با توجه به مدل رگرسیونی، رابطه (۲) برای تبدیل خروجی حسگر به فاصله

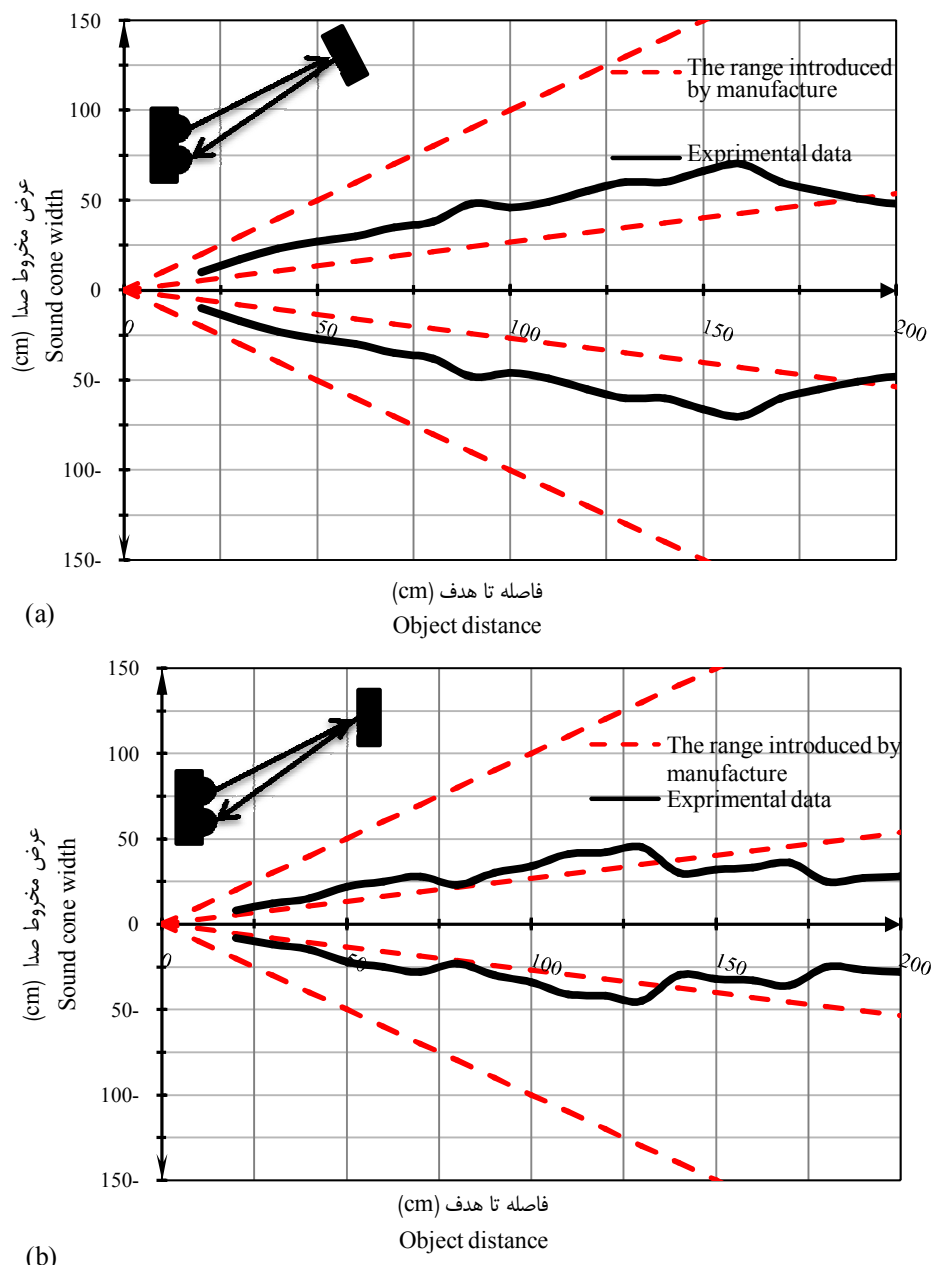
1- Noise

2- Median filter

کاهش دقت مشاهده شده برای اندازه‌گیری‌های درون باغ برای توده درخت، بر پارامتر نهایی برآورد شده (ضخامت) بسیار تأثیرگذار است. به عنوان مثال، چند سانتی‌متر اختلاف در اندازه‌گیری، هنگامی که سطح مقطع توده درخت تنها با یک حسگر فرacoتی انجام می‌شود، نسبت به حالتی که از دو یا چند حسگر استفاده شود، تأثیر منفی بیشتری خواهد داشت.

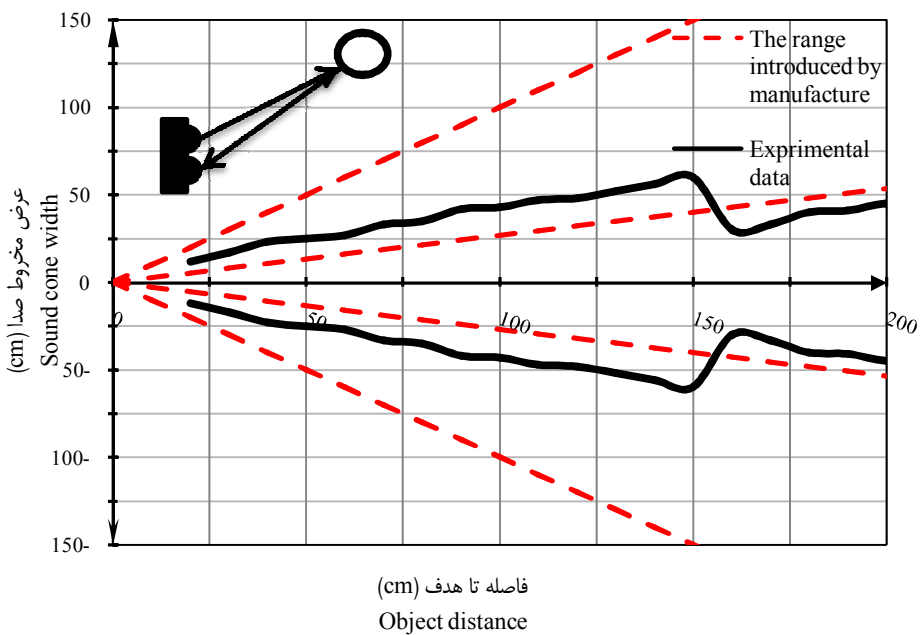
هدف را نشان می‌دهد که بر این پایه، فاصله از رابطه (۳) قابل محاسبه است.

$d = 194.47 - 17.379 V$ (۳)
در رابطه (۳) که در شرایط میدانی به دست آمده، d فاصله برآورد شده (بر حسب سانتی‌متر) و V سیگنال ولتاژ خروجی (بر حسب ولت) می‌باشد.

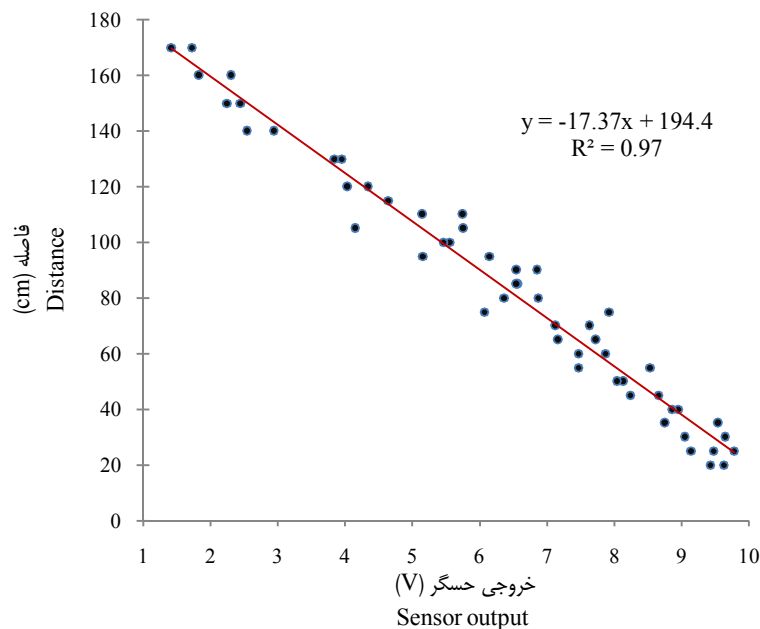


شکل ۸- نمودار مخروط صدا برای جسم تخت در دو حالت مختلف قرارگیری هدف؛ (a) بهترین وضعیت بازتاب، (b) عمود بر محور مرکزی مخروط

Fig.8. Sound cone diagrams for flat object in two different orientations aligned with; (a) The most optimum reflection, (b) Perpendicular to the ultrasonic cone axis



شکل ۹- نمودار مخروط صدا برای جسم گرد به همراه محدوده نامی زاویه مخروط صدا

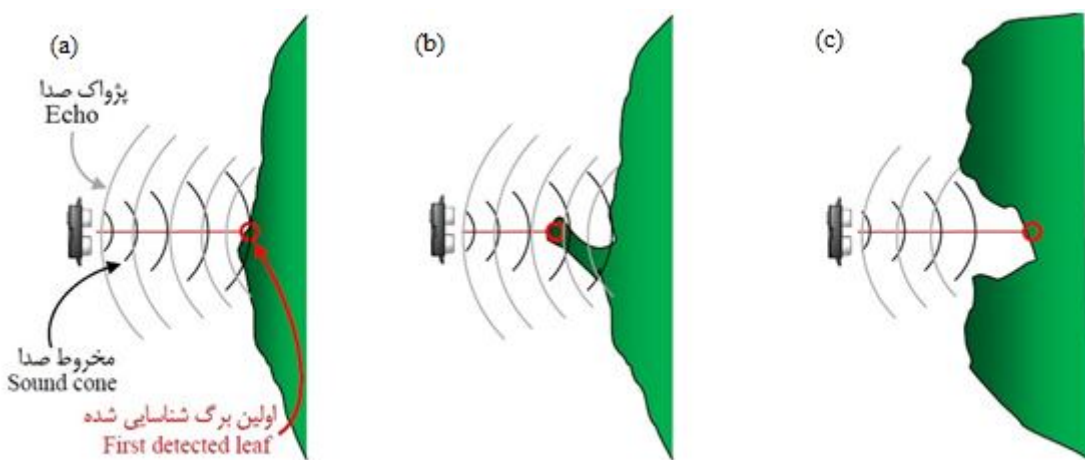
Fig.8. Sound cone diagrams for cylindrical object superimposed with nominal beam angle cone

شکل ۱۰- رابطه میان خروجی حسگر و فاصله تا هدف

Fig.10. The relationship between the sensor output and the distance to the target

فاصله صحیح، نیازمند تشخیص گروهی از برگ‌ها است که به طور تقریبی در سطح عمودی یکسان قرار گرفته باشند (شکل ۱۱(a)). اگر گروه برگ‌ها برای تولید بازتاب مناسب کافی نباشند، نمی‌توانند در آن محل بازتاب را ایجاد کنند، بلکه در فاصله‌ای عقبتر که جرم بزرگ‌تری باشد، ایجاد می‌گردد (شکل ۱۱(b)).

ویژگی‌های سطح درخت تغییرپذیری زیادی در برآوردهای فاصله به وجود می‌آورد. این تغییرپذیری توسط قابلیت برگ‌ها به منظور تولید بازتاب کافی برای ایجاد می‌شود. برای فهم بهتر، شکل ۱۱(چگونگی واکنش توده گیاه به امواج فرماحتوتی را نشان می‌دهد). اغلب اوقات یک برگ به تنها یک برای ایجاد بازتاب مناسب به دلیل سطح کوچک و همچنین زاویه آن، کافی نیست. حسگر برای برآوردن



شکل ۱۱- برهمنکش‌های ممکن میان امواج فرماصوتی و توده درخت برای؛ (a) سطح عمودی تقریباً یکسان، (b) قسمت بیرون‌زده، (c) سطح فرورفته

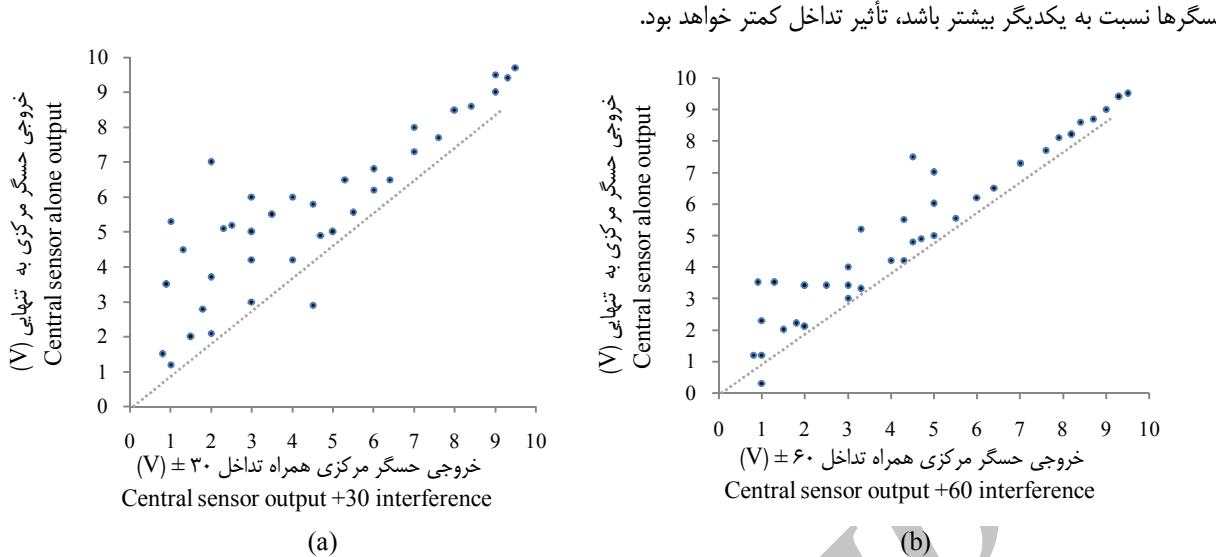
Fig.11. Interaction possibilities between ultrasonic waves and tree canopy for; (a) Approximately in the same vertical plane, (b) Outstanding part, (c) Indented surface

بررسی اثر تداخل

شکل ۱۲ خروجی حسگر مرکزی هنگامی که به تنهایی و همچنین همزمان با دیگر حسگرهای مجاور $\pm 30^\circ$ و $\pm 60^\circ$ فاصله را اندازه‌گیری می‌کند، مورد ارزیابی قرار می‌دهد. چنانچه این شکل نشان می‌دهد خروجی حسگرهای $\pm 30^\circ$ و $\pm 60^\circ$ موجب تداخل در خروجی حسگر مرکزی می‌شوند. زمانی که حسگرها در فاصله $\pm 60^\circ$ سانتی‌متری قرار می‌گیرند در 100 سانتی‌متر اول حساسیت کمتری به تداخل نسبت به سایر محدوده اندازه‌گیری نشان دادند، در حالی که تداخل به وجود آمده به وسیله حسگرهای $\pm 30^\circ$ تقریباً کل محدوده را تحت تأثیر قرار می‌دهند. همچنین نمودارها نشان داد که خروجی حسگر مرکزی که تحت تأثیر تداخل قرار می‌گیرد، به طور غیرطبیعی بزرگ‌تر از چیزی است که باید باشد. با توجه به رابطه (۳) تداخل موجب کاهش فاصله برآورده می‌شود که در نتیجه منجر به تخمین اضافی ضخامت درختان می‌شود. در مورد به کارگیری حسگر فرماصوتی برای تعیین شکل درخت به منظور تنظیم دبی آفت‌کش‌ها، بیش برآورد اندازه درخت در اثر تداخل به اندازه کم تخمین زدن مضر نیست. برآورد کمتر از اندازه واقعی موجب کاهش بازده سمپاشی و افزایش مقاومت آفات می‌شود.

اگرچه عملاً بیشتر اندازه‌گیری‌ها تحت تأثیر تداخل قرار نگرفته‌اند، ولی برخی از آن‌ها به شدت متأثر از این پدیده بودند. میانگین خطای هنگام اندازه‌گیری با حسگرهای مجاور در فاصله $\pm 30^\circ$ سانتی‌متر $14/65$ سانتی‌متر و در مورد حسگرهای مجاور $\pm 60^\circ$ سانتی‌متری میانگین خطای $6/73$ سانتی‌متر بود. نتایج به دست آمده و همچنین اطلاعات شرکت سازنده نشان می‌دهد که هرچه فاصله

در چنین موقعیتی فاصله اندازه‌گیری شده میان حسگر و توده گیاه کمتر از اندازه برآورد شده توسط مدل خواهد بود و بنابراین اندازه‌گیری زیر خط رگرسیون قرار خواهد گرفت (شکل ۱۰). همچنین ممکن است که در سطح خارجی درخت تورفتگی وجود داشته باشد. وقتی که حسگر در مقابل چنین شکاف‌هایی قرار بگیرد، ممکن است که بازتاب موج فرماصوتی به جای برگ‌های داخل شکاف، توسط برگ‌های محیط بیرونی شکاف ایجاد شود (شکل ۱۱c). در چنین موقعیتی فاصله اندازه‌گیری شده میان حسگر و توده گیاه بزرگ‌تر از اندازه برآورد شده توسط مدل خواهد بود و بنابراین اندازه‌گیری بالای خط رگرسیون خواهد افتاد (شکل ۱۰). این شرایط بستگی به شکل مخروط صدا به همراه زاویه قرارگیری و اندازه برگ‌ها دارد. داده‌های آزمایش‌های دقیق انجام شده، خروجی حسگر فرماصوتی را با توجه به شکل و زاویه قرارگیری جسم هدف روی سه نمودار مختلف نشان داد (شکل‌های ۸ و ۹). در تمام این نمودارها محدوده قابل تشخیص بزرگ‌تر از زاویه 15° درجه می‌باشد که برای تشخیص یک هدف قابل اعتماد است. بنابراین محدوده قابل تشخیص حسگرها با توجه به فاصله تا هدف تفاوت می‌کند. به دیگر سخن، هرچه توده گیاه در فاصله دورتری قرار گرفته باشد، تورفتگی‌های کمتری شناس دیده شدن را دارند. با این حال تعیین مخروط صدا هنگام سنجش در شرایط مزروعه به دلیل پارامترهای زیادی که باید مد نظر قرار گیرند، کار آسانی نیست. بنابراین محدوده ترسیم شده در شکل‌های ۸ و ۹ تنها کمینه ابعاد شکاف‌های سطح درخت را که با این نمونه حسگر قابل تشخیص هستند، برآورد می‌کند. نتایج پژوهش روی درختان سیب در اسپانیا نیز با نتایج به دست آمده تطابق دارند (Planas et al., 2011).



شکل ۱۲- پراکندگی خروجی حسگر مرکزی بهنهایی و همزمان کارکردن با حسگر مجاور؛ (a) در فاصله ± 30 سانتی‌متر، (b) در فاصله ± 60 سانتی‌متر

Fig.12. Scatter diagram of central sensor alone output and simultaneously working with adjacent sensors; (a) At ± 30 cm, (b) At ± 60 cm during the field interference trial

است، به طوری که خطای میانگین در شرایط مزرعه $3/19$ سانتی‌متر به دست آمد. تأثیر تداخل حسگرهای مجاور زمانی بیشتر شد که حسگرهای در فاصله 30 سانتی‌متر نسبت به یکدیگر، با میانگین خطای $14/65$ سانتی‌متر، قرار گرفتند. اما وقتی حسگرها در فاصله 60 سانتی‌متر یکدیگر نصب شدند، میانگین خطای $6/73$ سانتی‌متر به دست آمد. بنابراین برای جلوگیری از ایجاد تداخل بهتر است که حسگرهای در فاصله‌ای بیشتر از 60 سانتی‌متر نسبت به هم قرار گیرند. حسگر بررسی شده در این پژوهش نشان داد که توانایی اندازه‌گیری فاصله تا توده گیاه را در شرایط باغ پسته دارد و می‌توان با نصب چند عدد از آن‌ها، تصویری مجازی از ساختار شکلی درخت تهیه کرد. لذا می‌توان نتایج به دست آمده را برای رقم‌های مختلف پسته و همچنین سایر محصولات که ساختار گیاهی و برگ‌های مشابه دارند، تعمیم داد. باید مد نظر قرار داد که افزایش تغییرات به دلیل ویژگی‌های سطح درخت و اصول کاری حسگر فرآصوتی، دقت اندازه‌گیری را کاهش می‌دهد و همچنین تأثیر تداخل هنگامی که حسگر در فاصله نزدیک به هم قرار می‌گیرند، بسیار مهم می‌باشد.

اگرچه باید تعادلی میان فاصله قرارگیری حسگرهای و بالاترین ریزبینی عمودی (بیشترین تعداد حسگر برای برآورد قسمت بیرونی درخت با بالاترین دقت) برقرار شود. با این حال اثر تداخل را می‌توان با به کارگیری یک فیلتر مناسب مانند فیلتر میانه (Moltó *et al.*, 2000) برطرف کرد تا از تغییر شدید خروجی حسگرها جلوگیری شود (Masoudi *et al.*, 2012; Moltó *et al.*, 2000).

نتیجه‌گیری

این پژوهش به منظور بررسی توانایی حسگرهای فرآصوتی در سنجش ساختار ظاهری درختان پسته برای کاربرد در دستگاه سماپاش دقیق صورت گرفت. در شرایط آزمایشگاه، حسگر فرآصوتی مورد بررسی قادر به برآورد دقیق فاصله با خطای میانگین $0/64$ سانتی‌متر بود. اما هنگام استفاده در شرایط مزرعه، برای برآورد فاصله تا درخت، حسگر باقیستی به شکل بهتری تنظیم شود. با این حال تفاوت با برآورد آزمایشگاهی با توجه به سایر منابع بروز خطای نسبتاً کوچک است. تغییرات موجود در برآورد فاصله درون باغ به طور واضح نسبت به آنچه که در شرایط آزمایشگاه با هدف مصنوعی به دست آمد، بیشتر

منابع

1. Arnó, J., A. Escolà, J. M. Vallès, R. Sanz, J. Masip, J. Palacín, and J. R. Rosell. 2009. Use of a ground-based LIDAR scanner to measure leaf area and canopy structure variability of grapevines. In Precision Agriculture '09; 7th European Conference on Precision Agriculture, ECPA 2009, Wageningen, Netherlands. pp. 177-184.

2. Balsari, P. T., and M. Tamagnone. 1997. An automatic spray control for airblast sprayers: First results. In Precision Agriculture '97; Proceedings of the 1st European Conference on Precision Aagriculture. BIOS Scientific Publishers Ltd: Oxford, UK, 1997; pp. 619-626.
3. Brown, D., D. Giles, M. Oliver, and P. Klassen. 2008. Targeted spray technology to reduce pesticide in runoff from dormant orchards. *Crop Protection* 27: 545-552.
4. Byers, R., K. Hickey, and C. Hill. 1971. Base gallonage per acre. *Virginia Fruit* 60: 19-23.
5. Escolà, A., F. Camp, F. Solanelles, J. Llorens, S. Planas, J. R. Rosell, F. Gràcia, and E. Gil. 2007. Variable dose rate sprayer prototype for tree crops based on sensor measured canopy characteristics. In Precision Agriculture '07; Proceedings of 6th European Conference on Precision Agriculture, Skiathos, Grècia, Stafford, J.V., Ed. Wageningen Academic Publishers: Wageningen, The Netherlands, June 2007, pp. 563-571.
6. Escolà, A., F. Solanelles, S. Planas, and J. R. Rosell. 2002. Electronic control system for proportional spray application to the canopy volume in tree crops. proceedings of EurAgEng Conference. Budapest, Hungary.
7. Gil, E., J. Rosell, S. Planas, and L. Val. 2007. Variable rate application of plant protection products in vineyard using ultrasonic sensors. *Crop Protection* 26: 1287-1297.
8. Giles, D. K., M. J. Delwiche, and R. B. Dodd. 1987. Control of orchard spraying based on electronic sensing of target characteristics. *Transactions of the ASABE* 30: 1624-1636.
9. Giles, D. K., M. J. Delwiche, and R. B. Dodd. 1988. Electronic measurement of tree canopy volume. *Transactions of the ASAE* 31: 264-272.
10. Giles, D. K., M. J. Delwiche, and R. B. Dodd. 1989a. Sprayer control by sensing orchard crop characteristics: orchard architecture and spray liquid savings. *Journal of Agricultural Engineering Research* 43: 271-289.
11. Giles, D. K., M. J. Delwiche, and R. B. Dodd. 1989b. Method and apparatus for target plant foliage sensing and mapping and related materials application control. US 4823268 A Patent.
12. Jeon, H. Y., H. Zhu, R. Derksen, E. Ozkan, and C. Krause. 2011. Evaluation of ultrasonic sensor for variable-rate spray applications. *Computers and Electronics in Agriculture* 75: 213-221.
13. Llorens, J., E. Gil, and J. Llop. 2010. Variable rate dosing in precision viticulture: Use of electronic devices to improve application efficiency. *Crop Protection* 29: 239-248.
14. Maghsoudi, H. 2013. Variable rate orchard sprayer with mechatronic target detectin system using ultrasonic sensors. Ph.D Dissertation, Tarbiat Modares University. (In Farsi).
15. Maghsoudi, H., and S. Minaei. 2013. Variable rate spraying a methodology for sustainable development. The 1st National Conference on Solutions to Access Sustainable Development in Agriculture, Natural Resources and the Environment, Tehran, Iran. (In Farsi).
16. Maghsoudi, H., and S. Minaei. 2014. A review of applicable methodologies for variable-rate spraying of orchards based on canopy characteristics. *Journal of Crop Protection* 3 (4): 531-542.
17. Mann, K., A. Schumann, and T. Obreza. 2011. Delineating productivity zones in a citrus grove using citrus production, tree growth and temporally stable soil data. *Precision Agriculture* 12: 457-472.
18. Masoudi, H., R. Alimardani, M. Omid, S. Mohtasebi, and S. Bagheri Shooraki. 2011. Design, fabrication and evaluation of a mobile robot for spraying in greenhouses. *Journal of Agricultural Engineering Research* 12: 87-100.
19. Masoudi, H., R. Alimardani, M. Omid, S. Mohtasebi, and N. Noguchi. 2012. Determination of ultrasonic sensor ability for use as guidance sensors of mobile robots. *Sensors and Materials* 24: 115-126.
20. Mcconnell, R., K. Elliot, S. Blizzard, and K. Koster. 1983. Electronic measurement of tree-row-volume. National Conference on Agricultural Electronics Applications, Hyatt Regency Illinois Center, Chicago, Illinois. USA.
21. Moltó, E., B. MartíN, and A. Gutiérrez. 2000. PM-power and machinery: Design and testing of an automatic machine for spraying at a constant distance from the tree canopy. *Journal of Agricultural Engineering Research* 77: 379-384.

22. Moltó, E., B. MartíN, and A. Gutiérrez. 2001. PM-power and machinery: Pesticide loss reduction by automatic adaptation of spraying on globular trees. *Journal of Agricultural Engineering Research* 78: 35-41.
23. Morgan, N. G. 1964. Gallons per acre of sprayed area an alternative standard term for the spraying of plantation crops. *World Crops* 16: 64-65.
24. Palleja, T., M. Tresanchez, M. Teixido, R. Sanz, J. Rosell, and J. Palacin. 2010. Sensitivity of tree volume measurement to trajectory errors from a terrestrial LIDAR scanner. *Agricultural and Forest Meteorology* 150: 1420-1427.
25. Planas, S., J. R. Rosell, J. Pomar, F. Camp, F. Solanelles, F. Gràcia, J. Llorens, and E. Gil. 2011. Performance of an ultrasonic ranging sensor in apple tree canopies. *Sensors* 11: 2459-2477.
26. Roper, B. E. 1988. Grove Sprayer. US 4768713 A Patent.
27. Rosell, J. R., J. Llorens, R. Sanz, J. Arnó, M. Ribes-Dasi, J. Masip, F. Camp, F. Solanelles, F. Gràcia, and E. Gil. 2009a. Obtaining the three-dimensional structure of tree orchards from remote 2D terrestrial LIDAR scanning. *Agricultural and Forest Meteorology* 149: 1505-1515.
28. Rosell, J. R., R. Sanz, J. Llorens, J. Arnó, M. Ribes-Dasi, J. Masip, F. Camp, F. Gràcia, F. Solanelles, and T. Pallejà. 2009b. A tractor-mounted scanning LIDAR for the non-destructive measurement of vegetative volume and surface area of tree-row plantations: A comparison with conventional destructive measurements. *Biosystems Engineering* 102: 128-134.
29. Schumann, A. W., and Q. U. Zaman. 2005. Software development for real-time ultrasonic mapping of tree canopy size. *Computers and Electronics in Agriculture* 47: 25-40.
30. Schumann, A. W., W. M. Miller, Q. U. Zaman, K. H. Hostler, S. Buchanon, and S. Cugati. 2006. Variable rate granular fertilization of citrus groves: Spreader performance with single-tree prescription zones. *Applied Engineering in Agriculture* 22: 19-24.
31. Solanelles, F., S. Planas, A. Escola, and J. Rosell. 2002. Spray application efficiency of an electronic control system for proportional application to the canopy volume. *Aspects of Applied Biology* 66: 139-146.
32. Solanelles, F., S. Planas, J. Rosell, F. Camp, and F. Gràci. 2006. An electronic control system for pesticide application proportional to the canopy width of tree crops. *Biosystems Engineering* 95: 473-481.
33. Tumbo, S., M. Salyani, J. Whitney, T. Wheaton, and W. Miller. 2002. Investigation of laser and ultrasonic ranging sensors for measurements of citrus canopy volume. *Applied Engineering in Agriculture* 18: 367-372.
34. Zaman, Q. U., and A. W. Schumann. 2005. Performance of an ultrasonic tree volume measurement system in commercial citrus groves. *Precision Agriculture* 6: 467-480.
35. Zaman, Q. U., A. W. Schumann, and W. M. Miller. 2005. Variable rate nitrogen application in Florida citrus based on ultrasonically-sensed tree size. *Applied Engineering in Agriculture* 21: 331-335.
36. Zaman, Q. U., A. W. Schumann, and H. K. Hostler. 2006. Estimation of citrus fruit yield using ultrasonically-sensed tree size. *Applied Engineering in Agriculture* 22: 39-44.
37. Zaman, Q. U., and A. W. Schumann. 2006. Nutrient management zones for citrus based on variation in soil properties and tree performance. *Precision Agriculture* 7: 45-63.
38. Zaman, Q. U., A. W. Schumann, and H. K. Hostler. 2007. Quantifying sources of error in Ultrasonic measurements of citrus orchards. *Applied Engineering in Agriculture* 23: 449-453.
39. Zamahn, Q., and M. Salyani. 2004. Effects of foliage density and ground speed on ultrasonic measurement of citrus tree volume. *Applied Engineering in Agriculture* 20: 173-178.